

Ch 5. Séries de Fourier

3.1 - Polynômes trigonométriques - premiers résultats. Théorie [2].

- Références (parmi beaucoup d'autres !!) un chapitre de:

[MS]: Frédéric Schatzman, Analyse Numérique,
ou (pour les applications aux EDP) de Intégration, Éditions

[WS]: Walter Strauss: PDE (Partial Differential Equations),
ou (plus complet) de Wiley

[ZQ]: C. Zuily, H. Queffélec: Éléments d'Analyse pour l'Ingénierie,
Masson

A) Généralités.

On suit ici la présentation de [MS], puis de [ZQ].

- Polynôme trigonométrique: c'est une expression du type:

$$P(x) := \sum_{|k| \leq N} a_k e^{2i\pi k x}, \text{ où } x \in \mathbb{R}, \text{ les } a_k \in \mathbb{C}, N \in \mathbb{N} \text{ est le degré.}$$

On note Π_N l'e.v. des Pol-Trigo. de $d^{\circ} \leq N$. C'est un e.v. de dim. $(2N+1)$, de fonctions 1-périodiques de \mathbb{R} dans \mathbb{C} .

- On note $C_{\#}^0, C_{\#}^k$ l'e.v. sur \mathbb{C} des fonctions 1-périodiques de \mathbb{R} dans \mathbb{C} ,

et $L_{\#}^1, L_{\#}^p$ l'e.v. (sur \mathbb{C}) des fonctions mesurables de \mathbb{R} dans \mathbb{C} 1-périodiques : p.p. $x \in \mathbb{R}, f(x+1) - f(x) = 0$.

Alors on pose: $\int_{\#}^a f(x) dx := \int_a^{a+1} f(x) dx$ (c'est indépendant de $a \in \mathbb{R}$).

De même, on pose $(\int_{\#}^a |f(x)|^p dx) := (\int_a^{a+1} |f(x)|^p dx)^{1/p}, \forall a \in \mathbb{R}, \forall p \in [1, +\infty[$.

- Cette semi-norme sur $L_{\#}^p$ devient une norme sur l'espace-quotient $L_{\#}^p$ de $L_{\#}^p$ par la relation d'équivalence $f \equiv g \iff f - g = 0 \text{ p.p.}$

- On rappelle encore que pour cette norme, notée $\|f\|_p$, $L_{\#}^p$ est un espace de Banach $\forall p \in [1, +\infty[$, et un espace de Hilbert pour le produit scalaire

$$(f, g)_{\#} := \int_{\#} f(x) \bar{g}(x) dx \quad \text{pour } p=2.$$

- on rappelle aussi que $L_{\#}^{\infty}$ est un Banach pour $\|f\|_{\infty} = \sup_x |f(x)| \dots$

Thm 1 : (i) Soit $f \in C_{\#}^{\circ}$. Alors $\forall N \in \mathbb{N}$, f admet une unique projection $P := P_{\mathbb{T}_N} f$ sur \mathbb{T}_N :
 $\|P-f\|_2^2 = \inf_{Q \in \mathbb{T}_N^f} \|Q-f\|_2^2$, i.e. $\mathbb{T}_N^f P \in \mathbb{T}_N$ vérifie:

$$\int_{\#} |P-f|^2 dx = \inf_{Q \in \mathbb{T}_N^f} \int_{\#} |Q-f|^2 dx \quad (1)$$

(ii) De plus, la suite $\{e^{2ik\pi x}\}_{k \in \mathbb{Z}}$ est l'orthonormale pour $(\cdot, \cdot)_{\#}$. Donc

$$\begin{cases} P = P_{\mathbb{T}_N} f = \sum_{|k| \leq N} \hat{f}(k) e^{+2ik\pi x}, & \text{où le coeff de Fourier} \\ \hat{f}(k) = (f, e^{+2ik\pi x})_{\#} = \int_{\#} f(x) e^{-2ik\pi x} dx, \forall |k| \leq N. \end{cases} \quad (2)$$

(iii) De plus, $\forall k \in \mathbb{Z}$, $|\hat{f}(k)| \leq \|f\|_1$. (3)

Démi. cf ch. 3 sur les espaces de Hilbert. Il suffit de vérifier que $\forall j, k \in [-N, +N] \cap \mathbb{Z}$, on a

$$\int_{\#} e^{+2i\pi jx} \cdot e^{-2i\pi kx} dx = \int_{\#} e^{-2i\pi(j-k)x} dx = 0, j \neq k$$

d'où (i) et (ii), et que (3) est évident. \square

Rém 1. On a le même résultat $\forall f \in L_{\#}^p, 1 \leq p \leq +\infty$. En particulier, $\forall f \in L_{\#}^2$, ses coefficients de Fourier $\hat{f}(k)$ vérifient: $\forall N, \sum_{|k| \leq N} |\hat{f}(k)|^2 \leq \|f\|_2^2 = \int_{\#} |f|^2 dx$, d'où: $\forall m, p \sum_{k=-m}^{+p} |\hat{f}(k)|^2 \xrightarrow[m, p \rightarrow \infty]{} \sum_{k \in \mathbb{Z}} |\hat{f}(k)|^2 \leq \|f\|_2^2$. (4) (inégalité de Bessel). Quand on aura démontré que les $\{e^{2ik\pi x}\}$ forment une base hilbertienne de $L_{\#}^2$, on en déduira que l'égalité dans (4) caractérise les fonctions de $L_{\#}^2$, cf + loin. \square

B) Densité des Polynômes trigonométriques dans $C_{\#}^{\circ}$. (3)

• Première méthode : utiliser le Thm de Stone-

Weierstrass, cf e.g., [FP] : F. Poupart, Analyse fonctionnelle

• Deuxième méthode [MS] : celle, Univ. de Nice-Sophia.

voir aussi le Thm 11 (Thm de Fejér). On montre d'abord :

Lemme 1 : on pose $\forall n \in \mathbb{N}$ $P_m(x) = (1 + \cos 2\pi x)^m$,

$$\boxed{\begin{aligned} Q_m(x) &= P_m(x) / \left(\int P_m(x) dx \right). \text{ Alors } \forall m, Q_m \in \mathbb{T}_m, \\ \{Q_m(x) \geq 0\} \text{ et } \forall \alpha \in]0, \frac{1}{2}], \int_0^{1-\alpha} Q_m(x) dx \xrightarrow[m \rightarrow +\infty]{} 0. \quad (5) \\ \left\{ \int_{\#}^{\#} Q_m(x) dx = 1 \right\} \end{aligned}}$$

Dém. $\forall m, \forall x$, $P_m(x)$ et $Q_m(x) \geq 0$. De plus

$$P_m(x) = \left(1 + \frac{e^{2\pi i \pi x} + e^{-2\pi i \pi x}}{2} \right)^m \in \mathbb{T}_m, \text{ et } \int_{\#}^{\#} Q_m dx = 1.$$

Pour montrer (5), par symétrie / à $x = \frac{1}{2}$, on se ramène à montrer que $A_n := \int_{\alpha}^{1/2} P_m(x) dx / \left(\int_{\alpha}^{1/2} P(x) dx \right) \xrightarrow[n \rightarrow +\infty]{} 0$.

Or $\max_{\alpha \leq x \leq 1/2} P_m(x) \leq (1 + \cos 2\pi \alpha)^m$, et d'autre part

$$\int_{\alpha}^{1/2} P_m(x) dx \geq \int_{\alpha}^{1/2} P_m(x) dx / \frac{1}{2} (1 + \cos 2\pi \alpha)^m.$$

$$\text{Donc } \forall n, 0 \leq A_n \leq \frac{(1 + \cos 2\pi \alpha)^m}{\frac{1}{2} (1 + \cos 2\pi \alpha)^m} = \frac{2}{\alpha} (1 + \cos 2\pi \alpha)^{m-1} \xrightarrow[m \rightarrow +\infty]{} 0 \quad \underline{\text{fixe}}$$

car $\forall \alpha \in]0, \frac{1}{2}], 0 < \frac{2}{\alpha} < 1$. \square

On montre ensuite :

Prop 1 : L'ensemble \mathbb{T}_N des Bl-trigo 1-périodiques est dense dans $C_{\#}^{\circ}$.

Dém. : idée.

on pose $f_m(x) := \int f(x-y) Q_m(y) dy$, on montre que f_m est 1-périodique (et continue) et, par changement de variable dans $\int_{\#}$, que $f_m \in \mathbb{T}_m$.

(*) poser $z = x - y$

. on estime ensuite la différence entre f_m et f à l'aide du Lemme 1, en choisissant $(\forall \varepsilon > 0)$ un $\alpha > 0$ tq le module de continuité

$$\omega(\alpha) := \sup_{\substack{x, y \in [0, 1] \\ |x-y| \leq \alpha}} |f(x) - f(y)| \text{ soit } < \varepsilon.$$

. Exo 1: vérifier les détails, cf [MS]. \square

. Consequence:

Thm 2

$\forall f \in C^0_{\#}$, les sommes partielles de Fourier de f :

$$S_N(f) := \sum_{|k| \leq N} \hat{f}(k) e^{2i\pi kx} := \sum_{|k| \leq N} \hat{f}(k) e_{k\#}(x) \quad (6)$$

convergent vers f dans $L^2_{\#}$: $\int_{\#} |f - S_N(f)|^2 dx \xrightarrow[N \rightarrow \infty]{} 0$,

et de plus on a la relation de Parseval:

$$\int_{\#} |f|^2 dx = \sum_{k \in \mathbb{Z}} |\hat{f}(k)|^2. \quad (7)$$

En particulier, $\forall f \in C^0_{\#}$, $\hat{f}(k) \rightarrow 0$ ($k \rightarrow \infty$). $\quad (7')$

Dém. Utilisons $Q = f_m$ introduite au thm 2. D'après

Pythagore, $\forall f \in C^0_{\#} \subset L^2_{\#}$, on a pour $m = N$

$$\|f - S_N(f)\|_2^2 + \|S_N(f) - f_N\|_2^2 = \|f - f_N\|_2^2 \leq (1 \cdot \|f - f_N\|_{\infty})^2 \xrightarrow[N \rightarrow \infty]{} 0.$$

Donc $\|f - S_N(f)\|_2^2 \xrightarrow[N \rightarrow \infty]{} 0$. De plus, encore

d'après Pythagore,

$$\underbrace{\|f - S_N(f)\|_2^2}_{\rightarrow 0} + \|S_N(f)\|_2^2 = \|f\|_2^2. \text{ Donc}$$

$$\|S_N(f)\|_2^2 = \sum_{|k| \leq N} |\hat{f}(k)|^2 \xrightarrow[N \rightarrow \infty]{} \|f\|_2^2, \text{ d'où (7), et (7').} \quad \square$$

. Ceci n'entraîne pas encore que les $(e^{2i\pi kx})_{k \in \mathbb{Z}}$

forment une base hilbertienne de $L^2_{\#}$. Ceci

n'entraîne pas non plus la cv de $S_N(f)$ vers $f \in C^0_{\#}$
pour la norme $\|\cdot\|_{\infty}$!! ~~✓~~

(5)

c) Autres résultats de densité:

- Rappel: $\forall f \geq 0$, on dit que $f \in L^1([a, b])$ si f est mesurable (Lebesgue) de $[a, b]$ dans \mathbb{R}_+ et si
$$\int_{[a,b]} f dx := \sup_{\substack{\text{mesure de Lebesgue} \\ g \text{ étagée}}} \left\{ \int_{[a,b]} g dx, 0 \leq g \leq f \right\} < +\infty$$

- on dit que $f = f_+ - f_- \in L^1([a, b])$ si f_+, f_- et $|f| = f_+ + f_- \in L^1([a, b])$, et de m pour $f = \operatorname{Re}(f) + i \operatorname{Im}(f)$ à valeurs dans \mathbb{C} .

- Donc, par construction, $\forall f \in L^1([a, b]), f \geq 0$
 \exists une suite (f_m) de fonctions étagées (≥ 0) tq
 $f_m \rightarrow f$, $f_m(x) = \sum_{\substack{\text{finie} \\ [a_m, b_m]}} \alpha_{m,k} \mathbf{1}_{[a_m, b_m]}(x)$, et

$$\int_{[a,b]} |f_m - f| dx = \int_{[a,b]} (f_m - f) dx \xrightarrow{(m \rightarrow +\infty)} 0$$

- Finallement, $\forall f \in L^1(a, b) := L^1([a, b]) = L^1([a, b])$,
 \exists une classe d'équivalence (\dot{f}_m) de fonctions étagées
tq $\|\dot{f}_m - \dot{f}\|_{L^1(a, b)} \xrightarrow{(m \rightarrow +\infty)} 0$:
l'ensemble \mathcal{E} des (classes de) fonctions étagées est
dense dans $L^1(a, b)$.

- Par ailleurs, toute fonction étagée g est
limite dans L^1 d'une suite de fonctions g_k continues,
sur $[a, b]$:



En combinant ces deux résultats, on obtient

Thm 3:

[l'espace $C^0([a, b])$ est dense dans $L^1(a, b)$. De même,
(exo) l'espace $C^0_{\#}$ est dense dans $L^1_{\#}$, donc dans $L^p_{\#}, \forall p > 0$.]

(6)

Application : Prolongement

Thm 4 : cf e.g. [FP] ou [HB] (H. Brézis, Analyse fonctionnelle Masson).

(i) Soient E et F deux espaces de Banach sur \mathbb{R} ou \mathbb{C} ,
 et soit $(A_n)_{n \in \mathbb{N}}$ une suite d'opérateurs de E dans F ,
 linéaires, uniformément bornés en norme d'opérateurs :

$$\exists K > 0 ; \forall n \in \mathbb{N}, \forall x \in E, \|A_n x\|_F \leq K \|x\|_E$$

(*) (resp. les A_n sont uniformément équicontinues de E dans F).
 $\forall \epsilon > 0, \exists \alpha(\epsilon) > 0 ; \forall n \in \mathbb{N}, \forall x, y \in E, d_E(x, y) < \alpha \Rightarrow d_F(A_n x, A_n y) < \epsilon$

(ii) Supposons de plus qu'il $\exists D \subset E$, D dense dans E, tq
 $\forall x \in D$, $\lim_{n \rightarrow \infty} A_n x := A_D x$ existe dans F .

Alors \exists une application continue unique

$A : E \rightarrow F$ qui prolonge A_D à E tout entier.

Dans le 1^{er} cas A est linéaire, de norme $\leq K$
 et dans le 2nd cas, A est uniformément continue de
 E dans F , avec le même module de continuité que dans
 la relation (*) ci-dessus, i.e. $\epsilon = \omega(\alpha)$ avec la même
 fonction ω .

Dém. classique (admise).

. Exo 2 : cf e.g. [ZQ]. Démontrer, à partir du Thm 4, le Thm 5
 ci-dessous en étudiant $\ell : g \mapsto \int g(x) e^{2ik\pi x} dx$,
 et en étudiant :

$$\lim_{n \rightarrow +\infty} \int_{-\beta}^{\beta} e^{2ik\pi x} dx. \quad \square$$

Thm 5 : Riemann-Lebesgue (***)

Soir $f \in L^1_{\#}$. Alors $\lim_{k \rightarrow \infty} f(k) = 0$

D) Thm 6 Riesz-Fischer; Parseval (***) (7)

(i) $\forall f \in L^2_{\#}$, les sommes partielles de Fourier de rang N convergent vers f dans $L^2_{\#}$: les $(e_k)_{k \in \mathbb{Z}}$ forment donc une base hilbertienne de $L^2_{\#}$.
 De plus $\sum_{k \in \mathbb{Z}} |\widehat{f}(k)|^2 = \int |f|^2 dx$ (Parseval) (9)

et (forme "polarisée"):

$$\forall f, g \in L^2_{\#} \quad \sum_{k \in \mathbb{Z}} \widehat{f}(k) \overline{\widehat{g}(k)} = (f, g)_{\#} = \int f(x) \overline{g(x)} dx. \quad (10)$$

(ii) Réciprocurement, si une suite $(a_k)_{k \in \mathbb{Z}}$ dans \mathbb{C} vérifie: $\sum_{k \in \mathbb{Z}} |a_k|^2 < +\infty$, alors la somme de la série $\sum_{k \in \mathbb{Z}} a_k e^{2i\pi kx}$ converge dans $L^2_{\#}$ vers la fonction $f \in L^2_{\#}$ dont les coefficients de Fourier sont les a_k .

(iii) L'application: $f \in L^2_{\#} \mapsto (\widehat{f}(k))_{k \in \mathbb{Z}}$ est donc une isométrie de $L^2_{\#}$ sur $\ell^2(\mathbb{Z})$: l'inv. des suites à termes complexes, tq $\|a\|_{\ell^2(\mathbb{Z})}^2 = \sum_{k \in \mathbb{Z}} |a_k|^2 < +\infty$.

- Dém. Soient $E = F = L^2_{\#}$, et $A_N: f \mapsto A_N f := S_N f$.

D'après l'inégalité de Bessel (4),

$$\forall N, \forall f \in E, \|S_N f\| \leq \|f\|_2.$$

De plus, Thm 2, $\forall f \in D := C^0_{\#}$ dense dans E ,

$$\|S_N f - f\|_2 \xrightarrow[N \rightarrow +\infty]{} 0. \quad \text{on peut donc appliquer le}$$

Thm 4. Donc $\forall f \in E = L^2_{\#}, S_N f \rightarrow f$ dans $L^2_{\#}$, et donc $\|S_N f\|_2^2 \xrightarrow[N \rightarrow +\infty]{} \|f\|_2^2$ (calcul direct, ou continuité de $f \mapsto \|f\|_2$: 2^{ème} inégalité du triangle). On a donc Parseval, et donc (10), car $\forall f, g$,

$$(f, g)_{\#} = \frac{1}{8} \left[(f+g, f+g)_{\#} - (f-g, f-g)_{\#} + (f+ig, f+ig)_{\#} - (f-ig, f-ig)_{\#} \right]. \quad (11)$$

Réciprocement, si on pose $f_N(x) := \sum_{|k| \leq N} a_k e^{2ik\pi x}$, (8)

on obtient $\forall M > N$,

$$\|f_M - f_N\|_2^2 = \sum_{k=N+1}^M |a_k|^2 \xrightarrow[M, N \rightarrow +\infty]{\text{(indépendamment)}}$$

Donc la suite (f_N) est de Cauchy dans $L^2_{\#}$ (complet).

Sit f sa limite. On fixe k quelq. Alors $\forall N \geq |k|$,

$\widehat{f}_N(k) = a_k$. Par continuité, on en déduit

$$\widehat{f}(k) = a_k, \forall k \in \mathbb{Z}. \quad \square$$

3.2. Autres résultats de CV-Convolution - Thm de Fejér...

A) Autres résultats (I): Lemme 2 : Soit $f \in C_{\#}^p$, i.e. $f \in C^p(\mathbb{R}; \mathbb{C})$, f 1-périodique.

Alors $\forall m$ entier $\leq p$, $\exists C_m > 0$ tq

$$\forall k \neq 0, |\widehat{f}(k)| \leq \frac{C_m}{|k|^m}. \quad (12)$$

Dém. On a déjà vu le résultat pour $p=0$: $\forall f \in C_{\#}^0$,

$\widehat{f}(k) \xrightarrow[k \rightarrow +\infty]{} 0$. Pour $m=1, \dots, p$, on se ramène au

cas $m=0$ en intégrant par parties sur $[0, 1]$: e.g.

$$\widehat{f}(k) = \int_0^1 f(x) e^{-2ik\pi x} dx = [f(x) \frac{e^{-2ik\pi x}}{-2ik\pi}]_0^1 - \int_0^1 f'(x) \frac{e^{-2ik\pi x}}{-2ik\pi} dx,$$

d'où $\widehat{f}'(k) = \frac{\widehat{f}(k)}{-2ik\pi}$, et $\widehat{f}'(k) \xrightarrow[k \rightarrow +\infty]{} 0$, donc $\exists c_1 > 0$

$$|\widehat{f}'(k)| \leq c_1, \forall k \in \mathbb{Z}. \quad \square$$

Lemme 3: $\star\star\star$ Soit $f \in L^1_{\#}$. Supposons que $\sum_{k \in \mathbb{Z}} |\widehat{f}(k)| < +\infty$. (13)

Alors, la série $(\sum_{k \in \mathbb{Z}} \widehat{f}(k) e^{2ik\pi x})$ CV normalement (pour $\| \cdot \|_{l^1(\mathbb{Z})}$)
donc uniformément sur \mathbb{R} :

$$S_N(f) \xrightarrow[N \rightarrow +\infty]{} S_f. \text{ En p.v., } S_f = f \text{ p.p.}$$

Eso 3: montrer qu'en particulier (13) est vérifiée si: $\sum_{n \in \mathbb{Z}} (n+k^2) |\widehat{f}(k)|^2 < +\infty$ (13').

Dém. : $\forall M > N$, $|S_M(f) - S_N(f)|(x) \leq \sum_{N < |k| \leq M} |\widehat{f}(k) e^{2ik\pi x}|$

$$\leq \sum_{N < |k| \leq M} |\hat{f}(k)| \xrightarrow[M, N \rightarrow +\infty]{} 0 \text{ indépendamment} \quad \checkmark$$

• Donc la suite $(S_N(f))$ est de Cauchy dans $C^0_{\#}$, donc converge uniformément vers une limite $Sf \in C^0_{\#}$.

• On veut montrer que $Sf = f$ p.p. D'abord, $f \in L^1_{\#}$, et pour $\forall N$, on a

$$\sum_{|k| \leq N} |\hat{f}(k)|^2 \leq \sum_{|k| \leq N} \|f\|_1 |\hat{f}(k)| \leq \|f\|_2 \sum_{k \in \mathbb{Z}} |\hat{f}(k)|.$$

c'est indép. de N .

Donc (Thm 6), $f \in L^2_{\#}$, et donc

$$\|S_N f - f\|_2 \xrightarrow[N \rightarrow +\infty]{} 0. \text{ Par ailleurs}$$

$$\|S_N f - Sf\|_2 \leq 1 \cdot \|S_N f - Sf\|_{\infty} \xrightarrow[N \rightarrow +\infty]{} 0.$$

• Donc $f = Sf$ p.p. sur \mathbb{R} , et donc f est p.p. égale à une fonction continue Sf [A] cette propriété est beaucoup plus forte que : f est continue p.p., exemple : $f(x) = H(x) = \begin{cases} 1 & x > 0 \\ 0 & x \leq 0 \end{cases}$, et $S_N f \xrightarrow[N \rightarrow +\infty]{} Sf$ uniformément sur \mathbb{R} . \square

• Corollaire 1: soit $f \in L^1_{\#}$. Alors $f = 0$ p.p. si et seulement si tous ses coeff de Fourier sont nuls.

Dém. Si $f = 0$ p.p., alors $\forall k \in \mathbb{Z}$, $\hat{f}(k) = 0$.

Réciproquement, si $\forall k \in \mathbb{Z}$, $\hat{f}(k) = 0$, alors $\sum_{k \in \mathbb{Z}} |\hat{f}(k)|^2 = 0 < +\infty$, et d'après le lemme 3, f est la limite uniforme de $S_N f = 0$, $\forall N$, donc $f \equiv 0$.

• Corollaire 2: si $f \in L^2_{\#}$ est primitive d'une fonction $g \in L^2_{\#}$:

$$\begin{aligned} \forall x, y \in \mathbb{R}, \quad f(y) - f(x) &= \int_x^y g(t) dt, \\ \text{alors (13') est vérifiée, car alors } \|f\|_2^2 + \|g\|_2^2 &\leq \sum_{k \in \mathbb{Z}} (1 + 4k^2\pi^2) |\hat{f}(k)|^2. \end{aligned} \quad (14) \quad (15)$$

On aura qu'alors $f \in H^1_{\#}$.

Dém. Exo 4:

\square

B) Convolution (rappel): D'abord, si $f, g \in C^{\circ}_{\#}$ (10)

$\{f * g : x \mapsto \int_{\#} f(x-y) g(y) dy\} \in C^{\circ}_{\#}$. De plus, cette opération est commutative, associative (par Fusini), et $\forall f, g \in C^{\circ}_{\#}, \|f * g\|_1 \leq \|f\|_1 \cdot \|g\|_1$. Par densité de $C^{\circ}_{\#}$ dans $L^1_{\#}$, on étend clairement ceci :

$\forall f, g \in L^1_{\#}, (f * g)(x) = \int_{\#} f(x-y) g(y) dy$ est définie p.p.x., et $\|f * g\|_2 \leq \|f\|_1 \cdot \|g\|_1$. (10)

Prop 2: soient $f, g \in L^1_{\#}$. Si $f \in C^m_{\#}, f * g \in C^m_{\#}$,

$$\text{et } \forall k \leq m, \frac{d^k}{dx^k}(f * g) = \frac{d^k f}{dx^k} * g, \text{ avec} \\ \max_x \left| \frac{d^k}{dx^k} (f * g)(x) \right| \leq \max_x \left| \frac{d^k f}{dx^k}(x) \right| \cdot \|g\|_1.$$

Si $f, g \in L^2_{\#}$, alors $f * g \in C^{\circ}_{\#}$, et

$$\|f * g\|_{\infty} := \max |(f * g)(x)| \leq \|f\|_2 \cdot \|g\|_2. \quad (17)$$

Autre exemple: si $f \in L^1_{\#}$ et $g \in L^2_{\#}$, alors

$$f * g \in L^2_{\#} \text{ et } \|f * g\|_2 \leq \|f\|_1 \cdot \|g\|_2. \quad (18)$$

Dém. cf cours de Distribution pour le cas non périodique. Pour le cas C^m , appliquer le thm de dérivation sous le signe \int à $\{x \mapsto \int_{\#} f(x-y) g(y) dy\}$.

Dans le cas $m=0$, si $f \in C^{\circ}_{\#}$, alors

$$\left| \int_{\#} f(x-y) g(y) dy \right| \leq \|f\|_{\infty} \cdot \int_{\#} |g(y)| dy.$$

Pour montrer (17), on utilise Cauchy-Schwarz: $\forall x,$

$$\left| \int_{\#} f(x-y) g(y) dy \right| = |f(x)| \leq \|f\|_2 \cdot \|g\|_2, (\forall f, g \in C^{\circ}_{\#})$$

et on utilise encore la densité de $C^{\circ}_{\#}$ dans $L^2_{\#}$

et (e.g.) le thm 4 pour étendre le résultat à $f, g \in L^2_{\#}$.

Enfin, la démonstration de (18) combine (17) et l'égalité
claire que $\int f$ cours de Distrs. -

$$(f * g * h)(0) = \int (f * g)(y) h(0-y) dy = (f * g, h)_{\#},$$

où $h(x) := h(-x)$. \square

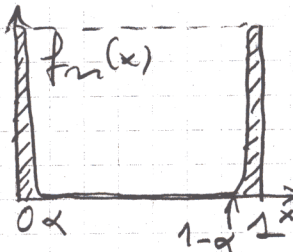
Thm 2: ** (Suite régularisante, cas périodique).

Soit $(f_m)_{m \in \mathbb{N}}$ une suite de fonctions de $L^1_{\#}$, tq

$$(i) \forall m, \int f_m(x) dx = 1 \quad (19)$$

$$(ii) \forall m, \|f_m\|_1 \leq K \quad (20)$$

$$(iii) \forall \alpha > 0, \int_{-\alpha}^{1-\alpha} |f_m(x)| dx \xrightarrow[m \rightarrow \infty]{} 0 \quad (21)$$



Alors $\forall g \in \left\{ L^1_{\#}, \|f_m * g - g\|_1 \xrightarrow[m \rightarrow \infty]{} 0 \right\}$ et

$$\begin{cases} L^p \\ C^{\#} \\ C^0 \end{cases} \xrightarrow[p \rightarrow \infty]{} 0 \quad (22)$$

$$\text{et } \forall g \in C^m_{\#}, m \in \mathbb{N}, \max_{0 \leq k \leq m} \left\| \frac{d^k}{dx^k} (f_m * g - g) \right\|_{\infty} \xrightarrow[m \rightarrow \infty]{} 0 \quad (23)$$

!! Rem. : Evidemment, si $f_m \geq 0$, (i) \Rightarrow (ii) avec $K=1$!!

Démo (idem). On a déjà utilisé ces idées au lemme 1 et au thm 2, mais cette fois-ci, les f_m ne sont pas nécessairement ≥ 0 . Soit $\omega(\cdot)$ le module de continuité de g , supposée continue. On a :

$$\begin{aligned} |(f_m * g)(x) - g(x)| &\leq \left(\int_{-\alpha}^{1-\alpha} |f_m(y)| dy \right) \cdot \|g\|_{\infty} \\ &\quad + \left(\int_0^{\alpha} |f_m(y)| dy + \int_{1-\alpha}^1 |f_m(y)| dy \right) \cdot \omega(\alpha) \end{aligned} \quad (24)$$

$\forall \varepsilon > 0$, fixons α tq $K\omega(\alpha) \leq \frac{\varepsilon}{2}$, puis, grâce à (iii), $m \geq n_0(\varepsilon)$, $n_0(\varepsilon)$ assez grand pour que $\int_{-\alpha}^{1-\alpha} |f_m(y)| dy \cdot \|g\|_{\infty} \leq \frac{\varepsilon}{2}$. On en déduit le résultat g est continue. On utilise ensuite le Thm 4... \square

déduit que $\max_x |(f_m * g)(x) - g(x)| \rightarrow 0$, si $g \in C_{\#}^0$. 12

On étend ensuite ce résultat pour $g \in L_{\#}^1$, grâce encore au thm 4 : $E = F = L_{\#}^1$, $A_m g := f_m * g$, $D = C_{\#}^0$.

Si $g \in L_{\#}^2$, le m^{me} thm (avec $E = F = L_{\#}^2$) entraîne (22)

$$\text{car } \|A_m g\|_2 \leq \|f_m\|_1 \|g\|_2 \leq K \|g\|_2.$$

Ensuite, on obtient (23) à partir de (22) en considérant les dérivées de $(f_m * g)$.

Finalement, on passe du cas L^2 au cas L^p grâce à :

$$\begin{aligned} |(f_m * g)(x) - g(x)|^p &= \left| \int_{\mathbb{R}} f_m(y) (g(x) - g(y)) dy \right|^p \quad (\text{d'après (1)}), \\ &\leq \int_{\mathbb{R}} \left(|f_m(y)| |g(x) - g(y)|^{1/p} \right)^q |g(x) - g(y)|^{1/q} dx, \text{ avec} \end{aligned}$$

$\frac{1}{p} + \frac{1}{q} = 1$. On applique ensuite l'inégalité de Hölder puis on intègre en x , Fubini, et on obtient

$$\|f_m * g - g\|_p^p \leq \int_{\mathbb{R}} f_m(y) h(x-y) dy = (f_m * h)(0),$$

avec $h(y) := \|f_m - T_y f_m\|_p$ (24),
où $T_y f_m : x \mapsto f_m(x-y)$.

On utilise dans (24) le fait que $\{y \mapsto T_y f_m\}$ est continue de \mathbb{R} dans L^p . □

• On rappelle aussi

$$\underline{\text{Prop. 3 : } \forall f, g \in L_{\#}^1, \widehat{(f * g)}(k) = \widehat{f}(k) \widehat{g}(k).} \quad (25)$$

Dém. Posons $e_k(x) := e^{-ikx}$. Alors $\forall g \in L_{\#}^1$,

$$(g * e_k)(x) = \int_{\mathbb{R}} g(y) e^{ikx} e^{-iky} dy = \widehat{g}(k) e_k(x).$$

Donc $\forall f, g$,

$$(f * g) * e_k(0) = \widehat{(f * g)}(k) \widehat{e_k}(0) = \widehat{(f * g)}(k) \stackrel{\text{"1}}{=} (associativité)$$

$$= (f * (g * e_k))(0) = \int_{\mathbb{R}} f(y) (g * e_k)(0-y) dy$$

$$\begin{aligned}
&= \int f(y) \hat{\tilde{g}}(k) e_k(-y) dy = \hat{\tilde{g}}(k) \int f(y) e_k(-y) dy \\
&= \hat{\tilde{g}}(k) \hat{f}(k), \text{ d'où (25).} \quad \square
\end{aligned}$$

C) Noyau de Dirichlet:

$$\text{On pose d'abord } D_N = \sum_{n=-N}^{+N} e_n; e_n(x) := e^{2i\pi n x} \quad (26)$$

Prop. 4: Le noyau de Dirichlet D_N est pair. Ensuite,

$$\text{(i) il vérifie: } D_N(x) = \frac{\sin((2N+1)\pi x)}{\sin \pi x}; \int D_N(x) dx = 1, \quad (27)$$

$$\text{et, } \forall f \in L^1, \int_D f = D_N * f, \quad (28)$$

$$\text{(ii) } \forall x; |x| \leq 1/2, D_N(x) = \frac{\sin 2N\pi x}{\pi x} + R_N(x), \text{ avec} \quad (29)$$

$$\sup_{\substack{|x| \leq 1/2 \\ N \geq 0}} |R_N(x)| < +\infty, \text{ et}$$

$$\text{(iii) } \|D_N\|_1 \rightarrow +\infty \quad (N \rightarrow +\infty) \quad (30)$$

$$\text{(iv) Posons } \Delta_N(x) := \int_0^x D_N(y) dy. \text{ Alors } \Delta_N\left(\frac{1}{2}\right) = \frac{1}{2} \quad (31)$$

$$\text{De plus, } \forall x \geq 0, \Delta_N(x) \rightarrow \frac{1}{2}, \text{ et } \lim_{N \rightarrow +\infty} \Delta_N\left(\frac{1}{2N+1}\right) = \int_0^{\sin(\pi/2)} \frac{\sin(\pi y)}{y} dy := I$$

$$\begin{aligned}
\text{Déf. (i) cf T.D; (ii) } D_N(x) &= \frac{\sin(2\pi Nx) \cos \pi x + \cos(2\pi Nx) \sin \pi x}{\sin \pi x} \\
&= \sin(2\pi Nx) \cot \pi x + \cos 2\pi Nx = \sin(2\pi Nx) \cdot \frac{1}{\pi x} + \underbrace{\sin 2\pi Nx \cdot \rho(x) + \cos 2\pi Nx}_{:= R_N(x)}
\end{aligned}$$

$$\text{avec } \sup_{\substack{0 \leq |x| \leq 1/2}} |\rho(x)| < +\infty$$

(parce que ρ est continue en 0).

(iii) On a e.g.

$$\|D_N\|_1 = 2 \int_0^{1/2} \frac{|\sin(2\pi Nx)|}{\pi x} dx + O(1) = 2 \int_{1/2\pi N}^{1/2} \frac{|\sin(\theta)|}{\theta} d\theta + O(1)$$

$$= \frac{2}{\pi} \int_1^{N\pi} \frac{|\sin y|}{y} dy + O(1)$$

intégrale divergente quand $N \rightarrow +\infty$)

On peut préciser: $\|D_N\|_1 \sim C \log N + O(1)$, cf [E.Q.]

(iv) On a par ailleurs,

$$\int_0^{1/2} D_N(x) dx = \Delta_N\left(\frac{1}{2}\right) = \int_0^{1/2} \sum_{|k| \leq N} e^{2i\pi kx} dx$$

$$= \frac{1}{2} + \sum_{1 \leq |k| \leq N} = \frac{1}{2}.$$

14

On renvoie à [MS] pour les autres résultats de (31).

Notons que la suite $\underline{(D_N)}$ ne vérifie pas les hypothèses

du Thm 7. \square

Corollaire 3: Soit $f \in L^1_{\#}$. Supposons qu'il existe

$$g \in L^1_{\#} \text{ tq } \forall x, y, f(y) = f(x) + \int_x^y g(t) dt.$$

On dit alors que f est absolument continue

$$\text{Alors } \forall x, (S_N f)(x) \xrightarrow[N \rightarrow +\infty]{} f(x)$$

Dém. Par translation, on se ramène à $x=0$. Alors

$$S_N f(0) = \int_{-1/2}^{+1/2} f(x) D_N(-x) dx, \text{ car } D_N \text{ est paire.}$$

En intégrant par parties - ce qu'on peut justifier par densité - on obtient :

$$S_N f(0) = \int_{-1/2}^{+1/2} f(x) \sum_{|k| \leq N} e^{2i\pi kx} dx$$

$$= \frac{f(1/2) + f(-1/2)}{2} - \int_{-1/2}^{+1/2} f_1(x) \Delta_N(x) dx.$$

Grâce au thm de Lebesgue,

$$\lim_{N \rightarrow +\infty} \int_{-1/2}^{+1/2} f_1(x) \Delta_N(x) dx = \frac{f(1/2) - f(0)}{2} - \frac{f(0) - f(-1/2)}{2}$$

$$\text{Donc } S_N f(0) \xrightarrow[N \rightarrow +\infty]{} \frac{f(1/2) + f(-1/2)}{2} - \frac{f(1/2) + f(-1/2)}{2} + f(0) = f(0).$$

\square

On admettra aussi, cf [MS] le résultat

Prop. 5: Soit $g \in L^1_{\#}$. Supposons que $g \equiv 0$ p.p. sur $[a, b] \subset \mathbb{R}$. Alors - même si $b-a < 1$ -

les sommes partielles $S_N(g)$ convergent uniformément vers 0 sur tout intervalle compact de $[a, b]$.

Thm 8 (de Dirichlet): ***

✓5

Sit $f \in L^1_{\#}$. Sit $x_0 \in \mathbb{R}$. On suppose que
 $\lim_{x \rightarrow x_0^+} f(x) := f^+ = f(x_0^+) \text{ et } \lim_{x \rightarrow x_0^-} f(x) := f^- = f(x_0^-)$ (32)

existent, et que

$$\exists \delta > 0 \text{ tq } \int_0^\delta \frac{|f(x_0 \pm t) - f|}{t} dt < +\infty. \quad (33)$$

$$\text{Alors } S_N(f)(x_0) \xrightarrow[N \rightarrow +\infty]{} \frac{1}{2}(f^+ + f^-) \quad (34)$$

Dém. Par translation, on suppose $x_0 = 0$. Alors, d'après la Prop. 4, on a:

$$\begin{aligned} S_N(f)(0) - \frac{1}{2}(f^+ + f^-) &= \int_{-\pi/2}^{\pi/2} D_N(t) f(-t) dt - \frac{1}{2}(f^+ + f^-) \\ &= \int_{-\pi/2}^{\pi/2} (f(t) + f(-t) - f^+ - f^-) dt \\ &= \int_0^{\pi/2} h(t) \sin((N+1)\pi t) dt, \end{aligned} \quad (35)$$

$$\text{où } h(t) = \frac{f(t) - f^+ + f(-t) - f^-}{\sin \frac{t}{2}}, \quad 0 < t \leq \frac{1}{2}$$

D'après (33), $h \in L^1([0, \frac{1}{2}])$. D'après le lemme de Riemann-Lebesgue, le dernier membre de (35) $\rightarrow 0$ quand $N \rightarrow +\infty$, d'où (35). \square

Rem. On a seulement utilisé l' \exists de f^+ et f^- relevant (33). En pratique, le plus souvent on suppose que f admet une dérivée à droite et une dérivée à gauche en x_0 , avec des limites à gauche et à droite f_+ et f_- distinctes. \square

D) Noyau de Fejér: D'abord, donnons un résultat <0>.

Thm 9 (Contre-exemple de Fejér)

$$\boxed{\exists f \in C_{\#}^0 \text{ tq } \sup_{N \geq 1} |S_N(f)(0)| = +\infty.}$$

En particulier, la suite $(S_N(f))$ diverge en 0.

Dém. cf [ZQ]. Pour un résultat analogue, (mais non constructif) à l'aide du thm de Banach - Steinhaus, cf TD. L'exemple de Fejér est constructif.

Noyau de Fejér: cf TD. On pose

$$K_N = \frac{1}{N} (D_0 + \dots + D_{N-1}), \quad (\text{noyau de Fejér}) \text{ et} \quad (36)$$

$$\sigma_N(f) = \frac{1}{N} (S_0(f) + \dots + S_{N-1}(f)). \quad (37)$$

Thm 10: soit $e_m(x) = e^{2imx}$, $m \in \mathbb{Z}$. Alors

$$(i) K_N = \sum_{m=-N}^{+N} \left(1 - \frac{|m|}{N}\right) e_m; \quad K_N(x) = \frac{1}{N} \left(\frac{\sin((2N+1)\pi/2)}{\sin \pi x} \right)^2 \geq 0 \quad (38)$$

$$(ii) \|K_N\|_1 = 1; \quad \lim_{N \rightarrow \infty} \int_{-\delta/2}^{\delta/2} K_N(x) dx = 0, \quad \forall \delta \text{ tq } 0 < \delta < \frac{1}{2} \quad (39)$$

$$(iii) \sigma_N(f) = f * K_N = \sum_{|m| \leq N} \left(1 - \frac{|m|}{N}\right) c_m(f) e_m. \quad (40)$$

Dém. cf TD.

□

Thm 11: thm de CV de Fejér

(i) soit $f \in C_{\#}^0$. Alors $\forall N, \|\sigma_N(f)\|_{\infty} \leq \|f\|_{\infty}$, et

$$\|\sigma_N(f) - f\|_{\infty} \xrightarrow[N \rightarrow \infty]{} 0 \quad (41)$$

(ii) soit $f \in L_{\#}^p$. Alors $\forall N, \|\sigma_N(f)\|_p \leq \|f\|_p$, et

$$\|\sigma_N(f) - f\|_p \xrightarrow[N \rightarrow \infty]{} 0 \quad (42)$$

(iii) si $f \in C_{\#}^0$ et f C^1 par morceaux, alors la série de Fourier de f converge normalement vers f .

Dém. cf [ZQ], cf TD, cf Thm 7. Pour (iii) (17) utiliser le fait que $c_m(f') = i m c_m(f)$. Noter aussi que d'après (39) et la positivité de K_N , (B8), les hypothèses du Thm 7 sont vérifiées, ce qui n'était pas le cas pour le moyen de Dirichlet.

Rem. Le Thm de Féjer donne une CV en norme, mais pas de CV ponctuelle (dans le cas L^p), pour $\sigma_N(f)$: c'est donc un résultat de CV en moyenne, à la Cesaro. Au contraire, le Thm de Dirichlet donne une CV ponctuelle, pour les $S_N(f)$, mais sous des hypothèses + restrictives. Enfin, le Thm de Féjer permet de démontrer facilement de nombreux résultats de CV, cf [ZQ] pour des exemples. □

Rem. On renvoie aux TD, et au cours sur les EDP pour de nombreuses applications des séries de Fourier, tout particulièrement pour résoudre l'équation de la chaleur en diagonalisant l'opérateur $\frac{d^2}{dx^2}$ avec des conditions aux limites convenables.